

## 低消費電力プロセッサのための限定的動的再構成アーキテクチャの提案

平尾 岳 志<sup>†</sup> 安達 琢<sup>†</sup>  
浅井 哲也<sup>†</sup> 本村 真人<sup>†</sup>

高性能・高エネルギー効率のプロセッサを実現するアプローチとして、対象プログラムのホットパスを可変構造のデータパスにマッピングしアクセラレートするリコンフィギュラブルプロセッサが注目されている。本稿では、処理の内容が多岐にわたり、かつ低消費電力性が強く求められる組み込み用途をターゲットとし、Control-Flow Driven Data-Flow Switching (CDDS) 可変データパスアーキテクチャを提案する。このアーキテクチャは、(1) 動的再構成を必要最小限な範囲に限定することで、柔軟性と低消費電力性の両立を目指す、(2) 既存命令列をそのままデータパスにマッピングすることで、既存アーキテクチャからスムーズに移行可能なリコンフィギュラブルプロセッサを目指す、の2点をその特徴とする。予備的な評価として、小規模なプログラムを手動マッピングし、その基本的特性を調査した。

### A Restricted Dynamically Reconfigurable Architecture for Low Power Processors

TAKESHI HIRAO,<sup>†</sup> TAKU ADACHI,<sup>†</sup> TETSUYA ASAI<sup>†</sup>  
and MASATO MOTOMURA<sup>†</sup>

Reconfigurable Processor (RP) has attracted wide attention as an approach to realize high-performance and highly energy-efficient processors by mapping target program's hotpath to a reconfigurable data path. In this paper, we propose Control-Flow Driven Data-Flow Switching(CDDS) variable data path architecture for embedded applications that demand extremely low power consumption and wide-range of usage. This Architecture is characterized by following two features. (1)Aiming to achieve both flexibility and low power consumption by limiting the scope of dynamic reconfiguration, (2)Aiming to smooth migration from the existing architecture by mapping the existing instruction sequence to the data path. As a preliminary evaluation, we have manually mapped small programs to understand fundamental characteristics of the proposed architecture.

#### 1. はじめに

近年、センサーネットワークやモバイル端末等のバッテリ駆動型機器の市場拡大に伴い、低消費電力な組み込みプロセッサに対するニーズが高まっている。一方、既存の汎用プロセッサにおいても消費電力がネックとなって性能を上げることが難しくなっており、性能電力比が高いプロセッサが求められている。これまで、プロセッサのコア数を増やして並列処理することで性能電力比を上げる、マルチプロセッサが提案されて来た。しかし、従来の単体プロセッサ構造を基本的にはそのまま踏襲しているために、性能電力比の大幅な向上は見込めない。汎用プロセッサの消費電力内訳の一例<sup>1)</sup>では、(1) 命令読み込み、(2) 制御、(3) レジスタ

アクセス、(4) パイプラインレジスタ、(5) Arithmetic Logic Unit(ALU) で全体電力の 2/3 以上を消費している。ALU の電力 (高々10%) を演算に必要な電力と考え、その他の電力は所望の演算を ALU で実行させるために消費される電力であり、工夫次第で削減可能な冗長な電力であると言える。そこで、プロセッサ内にアクセラレータ (=拡張データパス) を附置し、プログラム内のホットパス部をハードウェア的に実行することで、このような冗長な電力を削減して性能電力比向上を達成する各種のプロセッサアーキテクチャが提案されて来た。

Configurable Processor はホットパス部をそのまま Hardware(HW) 化してアクセラレータとし、プログラム実行時に HW で処理を行う。プログラムを HW 化して実行するため、汎用プロセッサで実行するよりも大幅な性能電力比の向上を見込める。しかし、処理が HW に固定されるために、汎用性がないという問題

<sup>†</sup> 北海道大学  
Hokkaido University

がある。そこで、Reconfigurable Hardware(RH) をアクセラレータとして持つ、Reconfigurable Processor(RP) が提案された。RP は動作前に RH を再構成することが可能で、汎用性を持ちつつ、性能電力比の向上を狙う。しかし、RH を多数の Processing Element(PE) で実装しても、大規模なプログラムを一度にマッピングすることはできない。この問題を解決するのが Dynamically Reconfigurable Processor(DRP) である。DRP は、アプリケーションを時分割し、RH を実行時に再構成することで大規模なプログラムを実行することができる。しかし、再構成するとき回路の充放電電流が流れ、再構成を頻繁に行う場合には多くの電力を消費するという問題がある。この問題に着目して、加速対象とする部分を限定し、動的再構成しないことで低消費電力化を達成する、CMA<sup>4)</sup> が提案された。

本研究では、例えば組み込み制御応用を想定し、制御フローの頻繁な切り替えを含むような、より広範囲なアプリケーションに対して性能電力比の向上を目指した Control-Flow Driven Data-Flow Switching(CDDS) 可変データパスアーキテクチャを提案する。CDDS アーキテクチャでは、RH 実行に柔軟性を持たせつつも、可能な限り動的再構成の範囲を減らすことを目指す。コントロールフローの分岐点で、一部のデータパスのみを切り替えることで、従来の DRP に比べ、再構成時の動作電流を減らすことができることを活かし、低消費電力化を狙う。

本論文の構成は以下の通りである。2 章にこれまで提案された性能電力比の高いプロセッサの説明をし、利点と改善点を述べる。3 章で提案する CDDS アーキテクチャの概要を説明する。4 章で CDDS アーキテクチャの詳細な設計を説明する。5 章で複数のプログラムを用いた机上評価の結果について述べる。6 章で総括する。

## 2. 関連研究

本章で性能電力比の高い、組み込み用途向けプロセッサのこれまでの研究を説明し、提案する CDDS アーキテクチャとの違いを示す。

Green Droid<sup>2)</sup> はモバイル用途に向けたコンフィギャラブルプロセッサである。Android OS のホットパスを HW 化したものを多数用意し、その部分の実行を HW に任すことで、性能電力比の向上を狙った。この HW は一部変更可能だが、大きな変更はできず、Android OS 専用プロセッサとなっている。

ADRES<sup>3)</sup> は VLIW プロセッサに FU をアレイ状

に並べて構成した RH が密結合している DRP である。ホットパスのループ部分を VLIW と RH で同時に実行することで大幅に性能を上げることができる。しかし、単純なループ以外の制御部分は VLIW で実行するため、複数の分岐を含むプログラムは RH で実行することはできない。

CMA<sup>4)</sup> は PE アレイを組みあわせ回路で構成した粗粒度の RP である。従来の Dynamically Reconfigurable Processor である Muccra<sup>5)</sup>、DRP<sup>6)</sup> は動的再構成に多くの電力が必要になる。そこで、RH を動的再構成しないことで、再構成時の電力を削減する。また、レジスタを介さず、PE をスイッチで接続し、組み合わせで実行することで電力削減を達成する。しかし、RH では組み合わせ回路のみの実行となり、ループ実行などでデータをレジスタに保持する必要がある場合は、別途マイクロコントローラを使用することが必要となる。また、動的再構成をしないために分岐に対応できず、柔軟性が低くなり、大規模なプログラムの実行は難しいと思われる。

上述の研究と比較して、CDDS アーキテクチャは柔軟性を持ちつつ、可能な限り動的再構成を減らすことで、より広範囲なプログラムに対して性能電力比の向上を目指す。はじめに、データパスを動的再構成する可変部と動的再構成しない固定部に分け、分岐命令の結果により、可変部のみ限定的に再構成する。RH 全体の再構成が必要でない分、より低消費電力化を狙うことができる。また、RH 上で分岐を多く含むホットパスも後述のコンテキスト数が許す限り実行可能である。よって、CMA とは違い、コンテキストを多数用意すれば、2 重ループなどの複雑な分岐にも柔軟に対応できる。

また、上述の研究では構成情報を生成するためにプログラムを変更、または新たに記述する必要があった。CDDS アーキテクチャでは構成情報をバイナリファイルから生成することにより、過去のプログラム資産を引き継ぐことができる。また、バイナリファイルを使うことで、小規模な変換ツールで制御情報を生成可能という利点がある。

## 3. CDDS アーキテクチャ概要

本章では我々の提案する CDDS アーキテクチャの概要について述べる。また、構成情報生成手法について説明する。

### 3.1 Control-Flow Driven Data-Flow Switching

一般的にプログラムをコントロール/データフロー

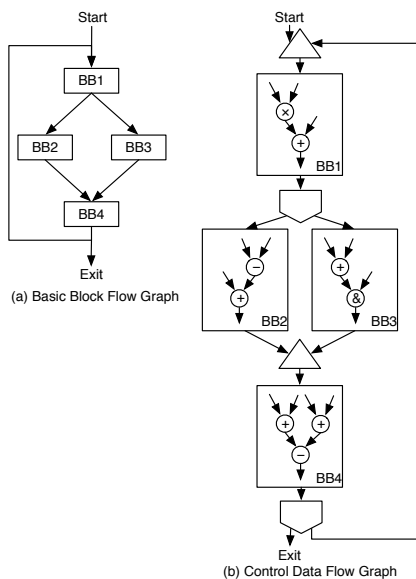


図 1 基本ブロックの流れ (例)  
Fig.1 Basic block flow example

グラフで表したときに、コントロールフローの分岐点で、次に実行するデータフローが選択される。このとき、実際に変更されるデータフローは実行中のデータフローから、選択したデータフローへの接続部分のみである。よって、プログラムのデータフローをRHにマッピングしたとき、コントロールフローの分岐点では接続部分を構成している部分のみ再構成すればよい。我々はこの観点より、データパスを可変部と固定部に分割し、実行時に可変部のみ再構成することを考えた。これにより、全体を再構成するのに比べ、可変部のみで済むために、動的再構成する部分を減らすことができる。また、固定部は切り替えないために組み合わせ的に実行することができる。そこで、既存の命令列を固定部に配置し、命令間のデータ依存関係に応じて演算器を組み合わせる。このように動的再構成を必要最小限な範囲に限定することで低消費電力化を狙う。

一例として図1(a)にプログラムのBasic Block(BB)の流れを示す。BB1から実行し、BB2またはBB3を実行し、BB4を実行する。そして再度、BB1から実行するかExitする。このBBの流れをコントロール/データフローグラフで表したものを図1(b)に示す。BB内のデータフローには分岐がなく、動作中にデータの流れることは変わらない。一方、BB間では分岐の結果によって、データの流れるが変わる。この例の場合では図2に示すようにBB1がr2という値を必要

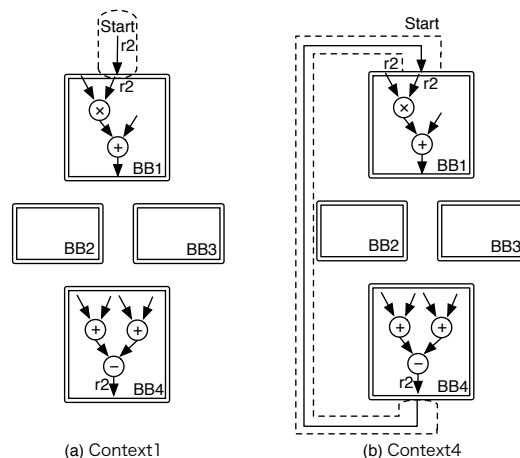


図 2 コントロールフロー分岐点におけるデータフローの切り替え  
Fig.2 Switch over data flow at the control flow's branch point

としているときに、始めは入力から値を得る(図2a)。次にBB2またはBB3を実行後、BB4を実行し、r2の値を書き換える。ループして、BB1を実行するときにはr2の値は書き換わっているために、入力からBB1へのデータの流れる(図2a)からBB4からBB1へのデータの流れる(図2b)へ変更する必要がある。よって、すべてのBB内のデータフロー(二重□の部分)をRH上に構成すれば、BB内のデータフローを構成する部分は切り替える必要はなく、BB間のデータフローを構成する部分のみ切り替えればよい。そこで図3に示すようにBB内のデータフローを構成する固定部とBB間のデータフローを構成する可変部に分ける。始めに、全BB内のデータフローの構成情報を一つ保持する。この構成情報により、RHのSwitching Element(sw)とProcessing Element(PE)で実装した固定部上にBB内のデータフローを構成する。ここで、PEは演算器を、SWは演算器間接続スイッチを意味する。次に、BB間でデータを受け渡すために必要なデータフローの構成情報を表1に示すようにコンテキストとして複数用意する。固定部にはBB内のデータフローが構成されており、可変部はコンテキストに従い、BBにデータを提供する。例えばコンテキスト2の場合、可変部はBB1からBB2へ、BB2からBB4へデータを提供する。プログラム実行はコントロールフローの分岐点でコンテキストを切り替え、可変部を再構成することで進める。可変部には演算器はないため、コンテキストに演算情報は含まない。そのため、DRPのように演算情報を含むコンテキストよりもサイズを小さくすることができる。

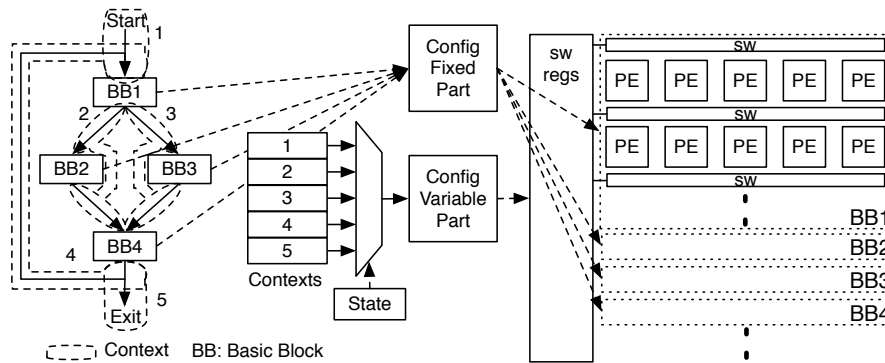


図3 CDDS アーキテクチャ基本コンセプト：固定部と可変部に分割  
Fig. 3 CDDS architecture basic concept : Dividing into fixed part and variable part

コンテキストは、マッピングするプログラムのすべてのコントロールの入り口から求める。これは、プログラム内へのある一つのコントロールの入り口から、分岐命令または、最後の命令までの命令列が一つのコンテキストを生成するからである。よって、命令列内部への分岐命令一つにつき、分岐命令の次の命令と分岐先の命令の二つの入り口があるため、コンテキストは2つ増える。また、プログラム外部からの入り口一つにつき、コンテキストは1つ増え、内部から外部への分岐命令もコンテキストは1つ増える。これらの総和が全コンテキストとなる。最大コンテキスト数を超えない限り、分岐命令が複数あっても実行することが可能である。ここで、従来からの手法である前方分岐命令を条件付き実行に変えることで、コンテキスト数を削減することができる。

### 3.2 構成情報の生成

次に、構成情報の生成フローを説明する。始めに、図4に示すようにコンパイラが生成したバイナリコードを逆アセンブルする。次に、そのアセンブリコードからホットパスを抽出し、その部分から構成情報を生成する。プログラムの先頭には、RHを構成する命令(rhc)を置き、もとのホットパスの位置には呼び出し命令(rhr)を置く。本体プロセッサはrhcをデコードすると、構成情報を読み込み、マッピングする。次に

表1 コンテキスト (図1, 2の例に対応)

コンテキスト	BB間のデータフロー
1	Start ⇒ BB1
2	BB1 ⇒ BB2 and BB2 ⇒ BB4
3	BB1 ⇒ BB3 and BB3 ⇒ BB4
4	BB4 ⇒ BB1
5	BB4 ⇒ Exit

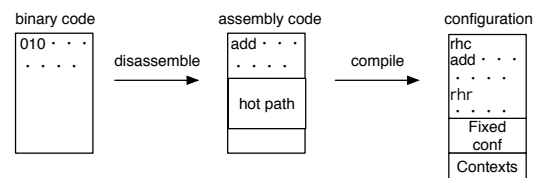


図4 構成情報生成フロー  
Fig. 4 Configuration information generation flow

呼び出し命令をデコード次第、RHが実行をはじめ。プロセッサ起動時にRHを構成するために、実行時に構成のためのオーバーヘッドはない。

バイナリコードを使うことにより、ソースコードを手に入れることができなかつた場合でも構成情報を生成することができる、コンパイラの最適化結果が使用できる、様々な言語のソースコードから実行ファイルが生成できるなどの利点がある。また、部分的に互換性を持たすことで、既存のコンパイラを使用することができ、制御情報を生成する機構を簡単化することができる。

## 4. CDDS プロセッサ

以上のように、提案アーキテクチャはコントロールフローの分岐点で最小限度のデータフロー切り替えを行うことを特徴としたものであり、このため Control-Flow Driven Data-Flow Switching (CDDS) アーキテクチャと名付けた。以下では本アーキテクチャに基づく拡張データパスである「CDDS アクセラレータ」と、これを組み込んだ「CDDS プロセッサ」について説明する。

### 4.1 CDDS プロセッサ全体図

図5に提案するCDDSプロセッサの全体ブロック図を示した。本体プロセッサには既存のプロセッサを

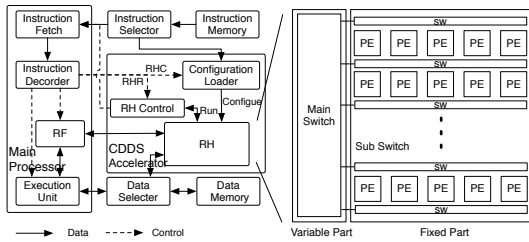


図5 CDDS プロセッサのブロック図  
Fig. 5 CDDS processor block diagram

若干の拡張を加えて用いる。CDDS アクセラレータはデータパスを構成するサブスイッチとメインスイッチ、コンテキストを切り替えるコンテキストコントローラ、構成情報を読み込むコンフィギュレーションローダで構成する。本体プロセッサが rhc 命令をデコードするとコンフィギュレーションローダが命令メモリから構成情報を読み込み、データパスを構成する。rhr 命令をデコードすると、コンテキストコントローラがコンテキストを切り替え、CDDS アクセラレータが実行を始める。

CDDS アクセラレータではプログラム中のホットパスを実行する。それ以外の計算は本体プロセッサで行うため、ホットパスまでの計算結果は RF、データメモリに保存されており、RF とデータメモリからデータを読み書きすることが必要である。そのため、本体プロセッサの RF の一部を共有することで、必要なデータの読み書きを達成する。

#### 4.2 CDDS アクセラレータのデータパス実装

データパスを構成するためには PE の出力を PE の入力に接続する機構が必要となる。この接続をサブスイッチとメインスイッチを用いて実装する。図5に示したように、メインスイッチは3.1節の可変部、サブスイッチは固定部にそれぞれ対応する。

はじめに、サブスイッチは図6に示すように、BB内のデータフロー(図中左部)を実装するために、PE間の接続を構成する。また、サブスイッチには条件付き実行が可能な機構を取り入れる。一般的に知られているように、プログラムは短い分岐命令を複数含む。これらの分岐のためにコンテキストを使い、動的に切り替えるのは無駄がある。そのため、短い分岐を条件付き実行に変換し、サブスイッチ上に構成して実行することで、コンテキスト数を削減する。条件付き実行は、PEの出力部分にセクタを配置し、分岐ユニットの出力により制御することで実装する。

メインスイッチはBB間のデータフローを構成する。RFからのデータをサブスイッチのBBを構成する部

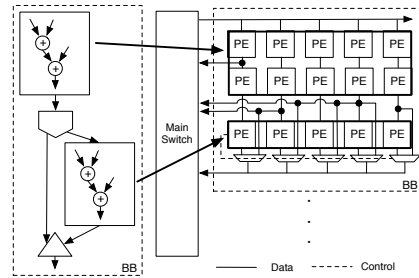


図6 サブスイッチへのBBのマッピング  
Fig. 6 Mapping BB to the sub-switch

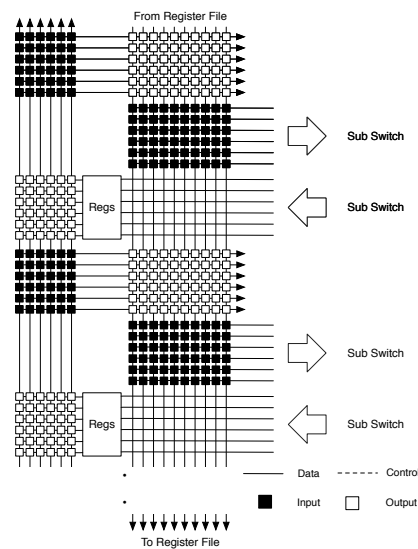


図7 メインスイッチの構造  
Fig. 7 Main switch

位に送り、そのBBからの演算結果を次のBBに送る。マッピングしたプログラムの実行が完了し、本体プロセッサに制御を戻すときに演算結果をメインスイッチを介してRFに格納する。コンテキストを実行し、その演算結果を移行先のコンテキストが使用するときには、コンテキストを切り替えると演算結果は失われるため、演算結果を保存する必要がある。また、逐次、演算結果をRFに保存し続けるようにすると、データの大規模な移動が頻発し、消費電力、性能の面で問題がある。そのため、演算結果を一時的に保存するためのレジスタをメインスイッチに配置する。よって、メインスイッチは図7に示すようにRF、レジスタ、固定部に構成したBBとの接続をスイッチを使って構成する。

多くのリコンフィギュラデバイスではRHの自由度を高めるために、PEの周りをスイッチ、配線で囲み、

データを自由に送受する方法が取られていた。しかし、多くのスイッチ、配線に多くの面積必要であり、PEの面積に比べ、全体の大部分を占めてしまう。そこで、我々はサブスイッチでは限られた方向のみデータを流すようにし、メインスイッチでのみ、データを自由に送るようにした。また、並列に実行可能なPEを制限する。これらにより、スイッチ、配線の構造を単純化し、PEの面積が占める割合の増大を狙う。

### 4.3 サブスイッチ

固定部を実装するサブスイッチを図8に示す。サブスイッチアレイの1列をステージと呼ぶ。この1ステージのPE数とステージ数を掛け合わせたアレイサイズがマッピング可能な最大の命令数を規定する。すなわち、マッピングするホットパス部の最大規模を想定してCDDSアクセラレータのアレイサイズを設計する必要がある。ステージ内のPE数は並列実行可能な命令の最大値となる。一般的な分岐を多く含むアプリケーションの命令レベル並列性は5程度<sup>7)</sup>であることが知られているため、本検討ではまずステージを5PEとした。一方、依存関係のある命令は別ステージに配置するため、少なくとも、対象プログラム部分のクリティカルパス命令数分のステージ数が必要となる。

1ステージを構成するPEは、平均的に、5命令に1度程度以上は分岐(BRA)、LD/ST命令を実行すると見込まれる<sup>7)</sup>ため、1ステージ毎の5つのPEのうち、先頭PEは分岐ユニットと、末尾PEはLD/STユニットとそれぞれ併用するようにした(残りのPEはALUのみ)。PEの出力を次段のPEが使うときには、その出力を次段のPEの入力にスイッチを使って接続する。これにより、組み合わせ的に命令を実行することができる。各PEの入力はメインスイッチからのデータか、前段の出力かを選択できる。

原則的にPEの演算結果は次のステージのPEの入力またはメインスイッチ内のレジスタに送るが、LD/STユニットには同じステージからでも結果を送ることができるようにした。これは、ALUでメモリアドレスを生成して、その次にLD/STを行うことが多いためである。また、一つのコンテキスト内に複数のLD/STがある場合、これらをマッピングしたLD/STユニットが競合しないように、メモリアクセス命令が配置されたPEを順番に選択し、そのPEのみがメモリにアクセスするようにした。メモリから読み込んだデータはコンテキストが切り替わるまで、外部レジスタに格納する。分岐ユニットでは条件付き実行やコンテキスト切り替えのための条件判定結果を生成する。条件付き実行を行うためにサブスイッチの分岐ユニットの条

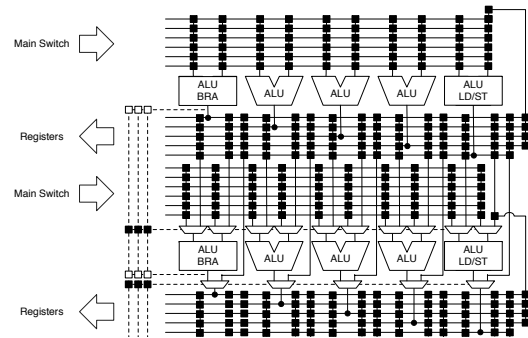


図8 サブスイッチのアレイ構造  
Fig. 8 Sub switch array structure

件判定結果を下段に送れるように構成する。また、各段のPEの出力にセレクタを配置し、条件判定結果により、前段の出力か、そのPEの出力かを選ぶようにした。

ここで、マッピングされた命令間の依存関係により縦列接続された一連のPEをチェーンと呼ぶことにする。コンテキスト毎のチェーンの最大長が、そのコンテキストの実行時間になるため、コンテキスト実行時間は可変となる。このため、CDDSアクセラレータの実装の際には可変周波数クロック技術を用いる必要がある。関連して、5.3節で評価指標として用いるコンテキストの並列度は、構成する命令を本体プロセッサで実行した場合にかかるサイクル数を、チェーンの最大長を構成する命令を実行するのに必要なサイクル数で割ることで求められる。また、CDDSアクセラレータの全体の並列度は、コンテキスト毎に並列度を求め、それぞれに実行回数を掛け合わせたものを、総実行回数で割って求められることになる。

### 4.4 コンテキストコントローラ

次にメインスイッチの構成を制御するコンテキストコントローラについて説明する。コンテキストコントローラを図9に示す。本体プロセッサが構成命令を実行しだい、構成情報読み込み部(図中 Configuration Loader)が、命令メモリから構成情報を読み出し、コンテキストメモリに格納する。次に、呼び出し命令をデコードすると、命令で指定する初期状態をSTATE部に格納する。すると、コンテキストが切り替わり、メインスイッチのデータパスを構成する。データパスを構成するとサブスイッチにRFのデータが流れ演算が始まる。コンテキストごとの実行時間はそれぞれのコンテキストにサイクル数として付随しており、そのサイクル数まで実行する。実行時間になると、状態遷

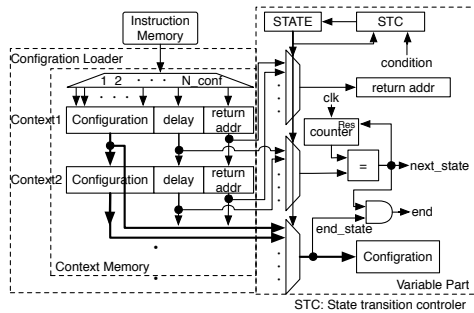


図 9 コンテキストコントローラ  
Fig.9 Context controller

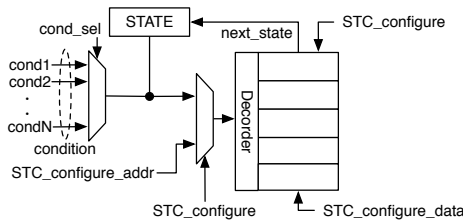


図 10 状態遷移コントローラ  
Fig. 10 State transition controller

移コントローラ (STC) が、現状態 (STATE によって保持) とコンテキスト末尾の分岐命令の条件判定結果 (condition) を元に次の状態を決める。最後のコンテキストは本体プロセッサの戻り先アドレスを保持しており、実行時間になると、このアドレスをプログラムカウンタに書き込む。

状態遷移コントローラを図 10 に示す。現在の状態とコンテキストと条件判定の結果より、次の状態を選択する。この状態遷移関数はメモリ内に格納され、条件判定結果は全ステージの分岐ユニットの出力 (図中 condition) からコンテキスト (cond\_sel) により指定する。

### 5. 予備評価結果

CDDS プロセッサの評価方法を述べる。本体プロセッサとして、命令拡張が可能な Lattice 社の Lattice Mico32(LM32)<sup>8)</sup> を利用した。LM32 の開発環境 Lattice Diamond を使い、プログラムをコンパイルし、一度バイナリコードを生成する。次に、そのバイナリコードを逆アセンブリし、アセンブリコードから構成情報を手動で生成した。この構成情報を CDDS アクセラレータにマッピングし、並列度、PE 使用率、PE 間接続の切り替え回数を調べた。

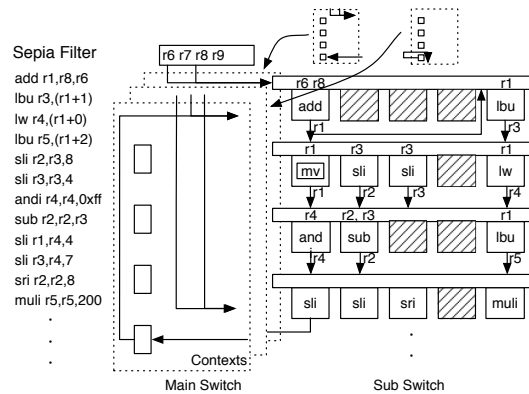


図 11 sepia filter 評価  
Fig. 11 Sepia filter evaluation

### 5.1 評価対象アプリケーション

評価アプリケーションとして sepia filter, 2 値化, crc32, AES で用いる sbox を使用した。これらのアプリケーションは問題なく、全命令をマッピングすることが可能であった。一例として、図 11 に sepia filter をマッピングした図を示す。プログラムの命令をサブスイッチの PE に割り当てる。サブスイッチ部分は切り替えないため、サブスイッチの構成は一つのみである。一方、メインスイッチは切り替えるために、sepia filter の場合、3 コンテキストを保持している。斜線部分は命令をマッピングすることができなかった部分である。

### 5.2 PE 使用率、コンテキスト数

次に PE 使用率の評価を行った。命令列をマッピングした図より、プログラムの命令で埋まっている PE を使用する全ステージの PE 数で割ることで PE 使用率求めた。結果を表 2 に示す。四つのプログラムで 50 ~ 60% という結果になった。これは、LD/ST 命令が固まり、そのロードしたデータを使う命令が多く、1, 2, 3 ステージの ALU が埋まらなかったこととデータ依存関係が多いことが原因である。コンテキスト数は表 2 に示すように、実行するプログラム内の分岐命令数の 2 倍に 1 を足した数が少なくとも必要になる。

CMA と比較して、sbox, crc32 のような複数の分岐命令を含むプログラムに対してコンテキストを複数用意することで、柔軟にプログラムを実行することが可能となっている。

### 5.3 CDDS アクセラレータの並列度

次に予備的な性能評価として CDDS アクセラレータと LM32 と比較し、並列度を調べた。LM32 の実行時間は LD/ST, 乗算命令の実行時間を 2 サイクル、

表 2 アプリケーション評価結果  
Table 2 Evaluation results

	sepia filter	2 値化	crc32	sbox
PE 使用率	57	53	52	50
分岐命令数	1	1	2	2
コンテキスト数	3	3	5	5
チェーンの最大長 (サイクル数)	14	15	11	11
並列度 (LM32 実行時間/最大長)	27/14=1.9	27/15=1.8	17/11=1.5	19/11=1.7

他の命令を 1 サイクルとして、コンテキスト毎に計算した。また、CDDS アクセラレータの実行時間は命令列をマッピングした図から、コンテキスト毎に最大のチェーンとなる部分を探し、構成する命令を LM32 と同じように計算した。並列度は LM32 の実行時間を CDDS アクセラレータの実行時間で割ることで求めた。表 3 に sepia filter の結果を示す。コンテキストの実行回数はコンテキスト 1, 3 は一回で、コンテキスト 2 は画像サイズの大きさだけループ実行を行う。画像サイズは十分大きいので、全体の並列度としてはコンテキスト 2 の並列度すなわち、1.9 になる。

評価アプリケーション全体の並列度を表 2 に示した。四つのプログラムで 1.5~1.9 という結果になった。並列度が低い原因として、プログラムにデータ依存関係が多いこと、LD/ST を並列に実行しないことが原因である。しかし、PE 同士をレジスタを介さずにスイッチを使って組み合わせ的に接続し、PE で処理が完了しだい次の PE がその結果を使うことで、遅延時間が短くなり並列度以上の性能向上を見込む。

表 3 sepia filter : 並列度  
Table 3 Sepia filter : Parallelism

コンテキスト 番号	命令数	LM32 実行時間	CDDS 実行時間	並列度	コンテキスト 実行回数
1	22	27	14	1.9	1
2	22	27	14	1.9	ImageSize
3	1	1	1	1	1

#### 5.4 PE 間接続の切り替え回数

次に消費電力削減の予備評価として、PE 間接続の切り替え回数を調べた。はじめに、命令列のデータフローの総アーク数を求める。これはコンテキスト切り替え時に PE 間接続をすべて切り替える場合の回数である。一方、CDDS アクセラレータでは PE 間の接続を構成するメインスイッチのアークのみ切り替える。このメインスイッチのアーク数を命令列をマッピングした図より求めた。表 4 に sepia filter の結果を示すように、メインスイッチアーク数の方が総アーク数に比べて小さいことがわかる。これはデータパスを可変部と固定部分に分けたときに、全体に比べ可変部の範囲が小さいことを意味する。

CDDS アクセラレータはコンテキストをループ実行するときは PE 間接続を切り替えない。よって、sepia filter のようにループ回数が多いプログラムでは、表に示したメインスイッチアーク数と総アーク数から求めるアーク数の比率よりも切り替え回数の比率は限りなく小さくなる。総アーク数は従来プロセッサでのレジスタアクセス総数とみなせるため、CDDS アクセラレータにより、演算器間で直接データを受け渡すことでレジスタアクセス回数を大幅に削減できることがわかる。

表 4 sepia filter : 切り替えるアーク数

Table 4 Sepia filter : Number of switch over arc

コンテキスト 番号	命令数	総アーク数	メインスイッチ アーク数	コンテキスト 実行回数
1	22	27	6	1
2	22	27	6	ImageSize
3	1	0	0	1

#### 5.5 スケーラビリティ

ここまでは、1 ステージに PE 数が 5 の場合の評価である。次に 1 ステージの PE 数を変更したときの振る舞いについて調べた。図 12 に PE 数を ±1 したときの PE 使用率(実線)、並列度(点線)を示す。PE 数を 6 にすると PE 使用率は低下する。これはステージに空き PE があっても、データ依存関係により、これ以上命令を割り当てることができないからである。PE 数を 4 にした場合、命令が割り当てられていない ALU が複数あったために、PE 数を少なくすることで、PE 使用率は向上した。しかし、sepia filter ではステージ当たりの PE 数が減り、ステージ数が長くなり、チェーンが長くなったことで並列度が下がった。PE 数を 3 以下にした場合も PE 使用率は向上するが、コンテキスト数は増える。これは、PE 数を減らすとサブスイッチで下段に送れるデータ数が減少するため、メインスイッチを介す必要があり、コンテキスト数が増えるからである。

以上のように、PE 数を減らすことで PE 使用率の向上を見込める。しかし、sepia filter の場合はコンテキスト数が増え、並列度が下がった。コンテキスト数が増えると再構成の回数が増加し、消費電力的には不利である。よって、この予備評価の範囲内では、4.3 節で設定したステージあたりの PE 数=5 が適切であったと言える。

#### 6. まとめと今後の展望

柔軟性と性能電力比の向上を目指した CDDS アーキテクチャについて述べた。従来の RP はプログラム



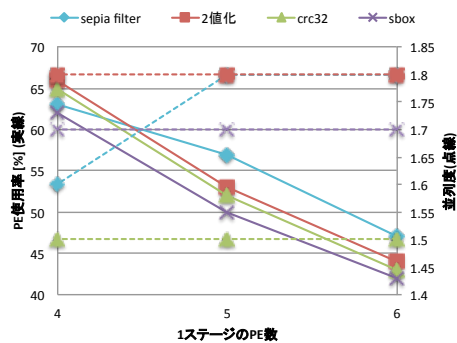


図 12 スケーラビリティ  
Fig. 12 Scalability

を HW 実行することで、汎用プロセッサに比べ、命令読み込み、デコードにかかる電力を削減し、並列に実行することで高性能、高エネルギー効率を達成する。CDDS アーキテクチャでは、更にデータパスを固定部と可変部とに分割し、実行時に可変部に限定して動的再構成することで、柔軟性と低消費電力性の両立を目指す。

本稿では、CDDS アーキテクチャのコンセプトと CDDS アクセラレータ/プロセッサの実装方針について述べるとともに、その予備評価結果について述べた。今後は本格的な電力評価環境を構築し、既存手法との比較を行うことで提案アーキテクチャの有効性についてより詳細な評価を行う予定である。

特に、CDDS アクセラレータのレイサイズに関しては、組込み制御等の応用ターゲットに即した評価を通して、最適なステージ数やステージ内 PE 数を定量的に確認していく必要がある。また、4.3 節で述べたように、CDDS アクセラレータの実装には可変周波数クロック系が必要であり、その詳細も引き続き検討する。更に、対象プログラム部分の全命令を固定的にサブスイッチ内の PE に割り付けるため、活性化していない PE も無駄な動的/静的電力を消費してしまうという点にも工夫が必要である。サブスイッチアレイ内を演算が伝搬していくのに応じて、ステージ単位でクロックゲーティング/パワーゲーティングなどを行う手法が考えられるが、その詳細も併せて検討を進める予定である。

**謝辞** 本研究の一部は株式会社半導体理工学研究センター (STARC) との共同研究によるものである。

## 参考文献

1) Rehan Hameed, Wajahat Qadeer, Megan Wachs, Omid Azizi, Alex Solomatnikov, Ben-

jamin C. Lee, Stephen Richardson, Christos Kozyrakis, and Mark Horowitz. Understanding sources of inefficiency in general-purpose chips. *SIGARCH Comput. Archit. News*, 38(3):37–47, June 2010.

2) S. Swanson and M.B. Taylor. Greendroid: Exploring the next evolution in smartphone application processors. *Communications Magazine, IEEE*, 49(4):112–119, april 2011.

3) Francisco-Javier Veredas, Michael Scheppeler, Will Moffat, and Bingfeng Mei. Custom implementation of the coarse-grained reconfigurable adres architecture for multimedia purposes. In *FPL*, pages 106–111, 2005.

4) N. Ozaki, Y. Yasuda, Y. Saito, D. Ikebuchi, M. Kimura, H. Amano, H. Nakamura, K. Usami, M. Namiki, and M. Kondo. Cool megarrays: Ultralow-power reconfigurable accelerator chips. *Micro, IEEE*, 31(6):6–18, nov.-dec. 2011.

5) Yoshiki Saito, Toru Sano, Masaru Kato, Vasutan Tunbunheng, Yoshihiro Yasuda, and Hideharu Amano. A real chip evaluation of mucra-3: A low power dycamically reconfigurable processor array. In *ERSA '09*, pages 283–286, 2009.

6) M. MOTOMURA. A dynamically reconfigurable processor architecture. *Microprocessor Forum, Oct. 2002*, 2002.

7) David W. Wall. Limits of instruction-level parallelism. *SIGOPS Oper. Syst. Rev.*, 25(Special Issue):176–188, April 1991.

8) LatticeMico32 開発ツール, <http://www.latticesemi.co.jp/products/designsoftware/micodevelopmenttools/index.cfm>.